

ниття навколошнього середови-
2, с. 219—228.
та.—Журн. еволюц. біохим. и
-Фізіол. журн. АН УРСР, 1977,

В. А. Козака о звуковидении
6, 12, № 1, с. 68—74.
й. Владивосток, 1955, 162 с.
ых китообразных.—Бюл. Моск.
60.

of the spermaceti organ of the
of Hawaii, 1970, p. 28.
el electrophoresis of histones.—

nd nasal passages of the sperm-
Amer. Museum Novitates, 1933,
omy of the nasal tract and the
(Mammalia, Odontoceti).—Bij-

ing Dreher J. J., Evans W. E.—
Press, N. Y., 1964, p. 395—396.

Поступила в редакцию
8.VII 1977 г.

E FRONTAL AIR SAC

of the frontal sac posterior wall
X-ray analysis. The histological
iquid filling the inner cavity of
measured. It is shown that the
em of vesicles out of which the
vesicles of the decreasing size
sicle unit are united by a single
tly. The ionic composition of the
position of blood serum, howe-
bly from the protein composition
considerably less than in blood
tural peculiarities of the vesicle-
ulations make it possible to con-
g. acoustic signals reflected from

зикологічний журнал редакції Академії наук України. В заснованій 1950 році в Україні міжнародного заліку в Україні та іноземних філіялах Академії наук України. Після об'єднання Української Академії наук та Академії наук СРСР в 1960 році журнал отримав нову назву та став видаватися в Україні та за кордоном.

УДК 612.017.018.433.826

Т. М. Зеленская

РЕАКЦІЯ ГІПОТАЛАМО-ГІПОФІЗАРНОЇ НЕЙРОСЕКРЕТОРНОЇ СИСТЕМЫ НА ВОЗДЕЙСТВІЕ РЕАКТИВІРУЮЩИХ ДОЗ ТЕСТИКУЛЯРНОЇ АНТИСЫВОРОТКИ

В связи с многолетним экспериментальным изучением [3, 4, 9, 10, 11, 22], а также применением в клинике [5, 17] и животноводстве [13] антисывороток, специфичных к половым железам, встал вопрос о необходимости исследования реакции других эндокринных желез на их воздействие. Результаты изучения реакции коры надпочечников и передней доли гипофиза изложены в наших ранних работах [15, 23, 24]. Поскольку известно [1, 2, 7, 12, 16, 25, 27, 30], что гипоталамо-гипофизарная система по принципу обратных связей испытывает влияние со стороны половых желез, мы сочли важным изучить ее морфофункциональное состояние при воздействии реактивирующих доз антитестикулярной цитотоксической сыворотки (АТЦС), которая у старых крыс-самцов с возрастной гипофункцией гонад вызывает реактивацию сперматогенеза и гормONOобразования [9], снижение содержания суммарных гонадотропинов в гипофизах животных [15]. У человека АТЦС, специфичная к яичкам, приводит к нормализации в моче содержания нейтральных 17-кетостероидов, их α - и β -фракций, к снижению уровня эстрогенных и гонадотропных гормонов [18].

Мы исследовали реакции супраоптического (СОЯ) и паравентрикулярного (ПВЯ) ядер, срединного возвышения (СВ) и задней доли гипофиза (ЗДГ) старых крыс-самцов после введения реактивирующих доз АТЦС.

Методика исследований

Исследования проведены на 52 старых крысах-самцах 24—27 мес. АТЦС получали иммунизацией кроликов водно-солевыми экстрактами, приготовленными из ткани семеников крыс по экспрессному методу [22]. Титр сывороток определяли в реакции связывания комплемента. Он составлял 1:200, 1:320. Разведенную в 1 см³ физиологического раствора АТЦС вводили трехкратно с интервалом в два—три дня в хвостовую вену крыс из расчета 0,0005 см³ цельной сыворотки на 100 г веса тела. Животных декапитировали на 3; 10; 21 и 45 сут после окончания введения АТЦС. Контролем служили интактные животные.

Гипофиз, гипоталамус животных опытных и контрольных серий фиксировали в жидкости Бузина. Серийные парафин-целлюдиновые срезы толщиной 6 мкм окрашивали паральдегид-фуксином по Гомори—Габу с докраской азокармином. Функциональное состояние нейросекреторных клеток СОЯ и ПВЯ оценивали измерением диаметра тел клеток, ядер и ядрышек. Объем тел ядер определяли по формуле эллипсоида ($\frac{4}{3} \pi a^2 b$), ядрышек — по формуле шара ($\frac{4}{3} \pi R^3$). Кроме того, вычисляли в процентах типы клеток, которые находятся на различных фазах секреторного цикла [20, 21]. Содержание гомори положительных гранул (ГПГ) нейросекреторного вещества (НСВ) в клетках, фрагментах аксонов и их расширениях определяли визуально, принимая максимальное количество за 5 усл. ед. В срединном возвышении оценивали состояние эпендимных клеток, волокон гипоталамо-гипофизарного тракта, капилляров первичного сплетения портальных сосудов, а также диаметры нейросекреторных расширений и контакты

волокон с эндотелием капилляров. В задней доле гипофиза учитывали содержание нейросекреторного материала в условных единицах, состоящие питуицитов и сосудов. Цифровой материал обрабатывали статистически [19] *.

Результаты исследований и их обсуждение

Супраоптическое ядро. Нейросекреторные клетки СОЯ интактных старых крыс характеризуются преобладанием светлых клеток II и III типа, в которых гранулы НСВ более или менее рыхло заполняют центральную зону цитоплазмы. Кроме того, определяются темноокрашивающиеся клетки с депонированием нейросекрета (IV тип) и пикноморфные в состоянии физиологической дегенерации (V тип). Наряду с

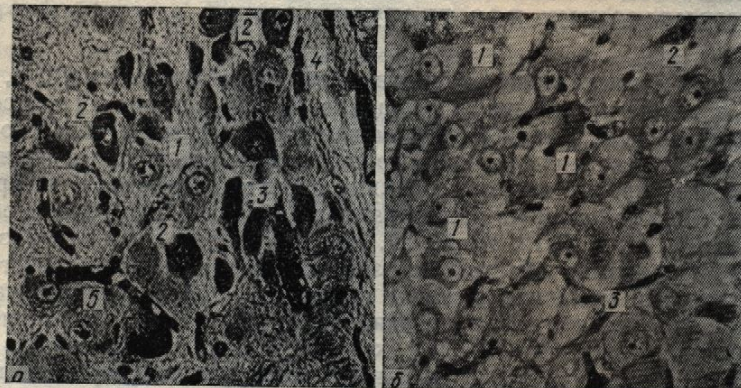


Рис. 1. Морфологические изменения в СОЯ после введения АТЦС.
а — СОЯ интактного самца 27 мес: 1 — светлые клетки, 2 — темные клетки с ГПГ, 3 — пикноморфные клетки, 4 — фрагменты аксонов, выполненные НСВ, 5 — капилляры; б — СОЯ на третий сутки после введения АТЦС: 1 — светлые клетки, 2 — темные клетки, 3 — капилляры. Паралльдегид-фуксин+азокармин. Ок. $\times 20$, об. $\times 20$.

этим выявляются переходные формы клеток с темной гипертрофированной цитоплазмой, гиперхромным ядром и незначительным содержанием секреторных гранул (табл. 1, рис. 1, а).

В светлых активно функционирующих клетках определяется ядрышко

Таблица 1
Типы нейросекреторных клеток (%) в супраоптическом и паравентрикулярном ядрах после введения реактивирующих доз АТЦС

Характер опыта	Время забоя (в сут)	Супраоптическое ядро					Паравентрикулярное ядро				
		светлые клетки			темноокрашивающиеся с ГПГ	пикноморфные	светлые клетки			темноокрашивающиеся с ГПГ	пикноморфные
		I тип	II тип	III тип			I тип	II тип	III тип		
Контроль		12,5	64	19	2,5	2	17,5	57	23	2	0,7
АТЦС	3	29,7	49	19	1,5	1,2	11,5	62,7	23	1,7	1
	10	25,3	53	19	1,7	1	14,3	63	30,7	1	1
	21	27,4	54	17	0,8	0,8	20,3	56,4	20,3	2	1
	45	51,2	35,2	11,2	1	1,2	30	52,7	14,2	2	1

* При проведении исследований ГГНС мы пользовались консультацией доктора биологических наук профессора А. Л. Поленова, руководителя лаборатории нейроэндокринологии Института эволюционной физиологии и биохимии им. И. С. Сеченова АН СССР.

ко у края ядра (две-
ют по два ядрышка,
сонов нейросекрет пр-
ными гранулами и о-
рений с ГПГ, темно-
вает на снижение фу-
вождающееся депон-
в целом, клетки СОЯ
ной функциональной
ются с исследованиями

Показатели объемов т-
посл
(% к пок)

Время иссле- дования (в сут)	Супра-	
	тел	кл
3	185,06	
10	126,43	
21	130,15	
45	155,61	

На третьи сутки ядер клеток I типа — светлые нейросекреторные ГПГ распределены значительно увеличены (рис. 1, 2). Чаще, чем у интактных крыс, расположенным на периферии ядра, сосудов и их расширениях количества светлых клеток, сопровождаются темные клетки.

На десятые сутки ядер клеток I типа преобладают светлые клетки, сопровождающиеся снижением количества ядерных гранул. На сорок пятые сутки ядер клеток I типа преобладают светлые клетки, сопровождающиеся снижением количества ядерных гранул.

Через 3 недели после введения АТЦС количество светлых клеток ядер СОЯ, сопровождающихся гипертрофией ядра, гиперхромией ядра, как и в предыдущих опытах, не изменяется.

Через полтора месяца в четырех разах по сравнению с контролем количество светлых клеток ядер СОЯ, сопровождающихся гипертрофией ядра, гиперхромией ядра, в контроле, встречаются в клетках и отростках ядер.

Таким образом, исследования отмечаются ядер СОЯ, функциональная

офиоза учитывали содержание гормонов и питуицитов и сосудов.

Суждение

клетки СОЯ интактных светлых клеток II и III в рыхло заполняют центрируются темноокрашивающиеся (IV тип) и пикнотические (V тип). Наряду с



сле введения АТЦС.
1 — темные клетки с ГПГ,
2 — оленные НСВ, 3 — калип-
ти — светлые клетки, 2 — тем-
ные ядра. Ок. $\times 20$, об. $\times 20$.

темной гипертрофированной активностью содержанием

отростках определяется ядро-

Таблица 1
и паравентрикулярном ядрах
из АТЦС

Паравентрикулярное ядро					
Светлые клетки		Темно-окрашивающиеся с ГПГ		Пикнотические	
Ип	II тип	III тип			
.5	57	23	2	0,7	
.5	62,7	23	1,7	1	
.3	63	30,7	1	1	
.3	56,4	20,3	2	1	
	52,7	14,2	2	1	

овалась консультацией доктора руководителя лаборатории нейро-и биохимии им. И. С. Сеченова

ко у края ядра (две—три клетки в поле зрения). Некоторые клетки имеют по два ядра. В расширениях у основания ядра и фрагментах аксонов нейросекретор предложен рыхло или чаще компактно расположены гранулами и оценивается на 2,2 усл. ед. (табл. 3). Наличие расширений с ГПГ, темноокрашивающихся и дегенеративных клеток указывает на снижение функций отдельных нейросекреторных клеток, сопровождающееся депонированием нейросекреторного материала. Однако, в целом, клетки СОЯ старых животных находятся в состоянии умеренной функциональной активности. В этом вопросе наши данные согласуются с исследованиями других авторов [6].

Таблица 2

Показатели объемов тел, ядер и ядрашек нейросекреторных клеток СОЯ и ПВЯ
после введения реактивирующих доз АТЦС
(% к показателям интактных крыс, принятых за 100 %)

Время исследований (в сутн.)	Супрапитическое ядро			Паравентрикулярное ядро		
	тел	ядер	ядрашек	тел	ядер	ядрашек
3	185,06	86,01	58,79	117,52	100,87	76,28
10	126,43	77,45	30,27	96,21	87,50	42,16
21	130,15	83,04	28,85	93,87	91,01	39,91
45	155,61	62,58	18,70	129,62	63,16	23,15

На третий сутки после введения АТЦС отмечается сдвиг в сторону клеток I типа — светлых клеток с широкой цитоплазмой, в которых секреторные ГПГ располагаются в перинуклеарной зоне. Объем тел клеток значительно увеличивается, ядер и ядрашек — уменьшается (табл. 1, 2). Чаще, чем у интактных животных, определяются клетки с ядрашками, расположенными у края ядра. Содержание НСВ в фрагментах аксонов и их расширениях снижается (табл. 3). Однако, наряду с увеличением количества светлых активно функционирующих нейронов определяются темные клетки, а также клетки в состоянии дегенерации.

На десятые сутки после введения АТЦС так же, как и на третий сутки, преобладают светлые клетки II и I типа (табл. 1). Объем тел клеток снижается по сравнению с третьими сутками в 1,5 раза, но по сравнению с интактными животными цитоплазма клеток остается гипертрофированной. Объем ядер и ядрашек уменьшается (табл. 2). Содержание НСВ в отростках увеличивается (табл. 3), что может быть связано с повышенной продукцией нейросекреторного материала, поскольку нейроциты функционируют напряженно.

Через 3 нед после введения АТЦС отмечается сдвиг в сторону увеличения количества светлых клеток II и I типа. Цитоплазма клеток базофильна, гипертрофирована. Объем ядер и ядрашек примерно такой же, как и в предыдущий срок исследования. Содержание НСВ в фрагментах аксонов почти в три раза меньше, чем на десяти сутки.

Через полтора месяца после введения АТЦС отмечается увеличение в четыре раза по сравнению с контролем содержания функционально активных светлых клеток I типа (табл. 1). Цитоплазма клеток базофильна, гипертрофирована, объемы ядер и ядрашек наименьшие. Чаще, чем в контроле, встречаются клетки с двумя ядрашками. Содержание НСВ в клетках и отростках незначительное.

Таким образом, после введения малых доз АТЦС во все сроки исследования отмечаются изменения со стороны нейросекреторных клеток СОЯ, функциональная активность которых повышается. Гипертрофия

цитоплазмы клеток, возможно, связана с гиперфункцией нейроцитов, уменьшение объема ядрышек — с выходом РНК из ядра в цитоплазму, где происходит синтез нейросекреторного материала. Известно, что в процессах синтеза клеточных белков ядрышко клетки является органоидом образования рибосомных РНК и рибосом, на которых происходит синтез полипептидных цепей [26]. Уменьшение содержания НСВ в фрагментах аксонов и их расширениях, вероятно, является результатом его активного транспорта. Отмечаемая гиперемия капилляров во все сроки исследования, возможно, способствует выведению нейросекрета из перикарионов по эккринному типу, вначале в окружающее их вещество мозга, а затем прямо в кровь, минуя аксонный путь [20].

РНК и РСС автора: линейчатые линии и цифры для каждого Таблица 3
Содержание ГПГ в нейросекреторных элементах ГГНС (в усл. ед.) после введения
реактивирующих доз АТЦС

Характер опыта	Время забоя (в сут)	Супраоптическое ядро		Параавентрикулярное ядро		Срединное возвышение	Задняя доля гипофиза
		клетки	отростки	клетки	отростки		
Контроль		4	2,2	4	1,8	2	4
АТЦС	3	3,6	1,3	4	1,4	1	1
	10	4	3,4	4	3,4	1,6	1
	21	3,2	1,2	3,2	1,3	1,6	2
	45	2,4	1,4	3,4	3,2	1,4	3

Параавентрикулярное ядро. Нейросекреторные клетки ПВЯ интактных старых крыс характеризуются светлой широкой цитоплазмой с незначительным содержанием ГПГ, расположенных перинуклеарно (II тип) и в свободной центральной части цитоплазмы (III тип). Цитоплазма клеток I типа с единичными ГПГ отличается базофильностью. Примерно 5—6 клеток в поле зрения содержат ядрышко у края ядра и 2—3 клетки имеют по два ядрышка. Фрагменты аксонов содержат плотно упакованные ГПГ. Видны гигантские расширения. Гиперемия ядра умеренная. В целом нейросекреторные клетки ПВЯ менее активны, чем СОЯ.

На третий сутки после введения АТЦС отмечается сдвиг в сторону преобладания процента светлых клеток II типа с большим содержанием ГПГ, сливающихся в плотные глыбки. Цитоплазма клеток широкая, более базофильная, чем у интактных животных. Однако гипертрофия цитоплазмы клеток ПВЯ менее выражена, чем клеток СОЯ (табл. 2). Объем ядрышек меньший, чем в контроле. Гранулы НСМ в фрагментах аксонов расположены рыхло. Определяются опустошенные расширения, в которых мелкие гранулы выявляются лишь по периферии. Наряду с ними видны расширения, выполненные крупными, интенсивно окрашенными гомори положительными гранулами. Крупные ГПГ выявляются и в цитоплазме клеток II и III типа.

На десятые сутки также преобладают светлые клетки II и III типа. Объем ядер и ядрышек уменьшился, характерна деформация ядер, которая не определялась в предыдущие сроки исследования. Фрагменты аксонов выполнены рыхло и плотноупакованными гранулами нейросекрета. Таким образом, преобладание светлых клеток и накопление НСМ в фрагментах аксонов и их расширениях можно трактовать как результат гиперсекреции клеток, которая не сопровождается активным транспортом.

Реакция гипоталамо-гипофизарного синапса

На 21 сут после введения активных светлых клеток III типа (табл. 3) все сроки исследования твердо снижены. Клетки

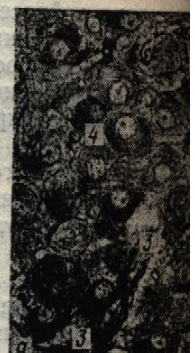


Рис. 2. Морфологические

а — ПВЯ: 1 — светлые клетки, 3 — волокна с ГПГ, 2 — гипоталамо-расширения, 5 — аксонов

интактных животных. Дочка определяются светлыми гранулами, что вания нейросекрета.

Таким образом, от гическим выражением количества светлых клеток ной активности нейросекрета.

Через полтора месяца тел нейросекреторов преобладают активно-типа в 1,6 раз меньше, аксонов больше, чем на-ражено. В целом, кле-

Срединное возвышение сосудов. В фибрillлярные нейросекреторного фактически свободен от ными гранулами, а так-ниями ГПГ по перифе-ляются нейросекреторной сети, что свидетельствует о работе нейросекрета. Таким образом, содержание ГПГ в цитоплазме ядер с расширениями с рыхлостью и выведение нейросекрета в виде крупных расширений, в отдельных группах нейро-

и перфузией нейроцитов, РНК из ядра в цитоплазму, материала. Известно, что в цикле клетки является органическим, на которых происходит содержание НСВ в ядре, является результатом перемещения капилляров во все ткань выведению нейросекрета наружу в окружающее их волоконный путь [20].

Таблица 3
ИС (в усл. ед.) после введения АТЦС

Вентрикулярное возвышение	Срединное возвышение	Задняя доля гипофиза
1,8	2	4
1,4	1	1
3,4	1,6	1
1,3	1,6	2
3,2	1,4	3

Инактивные клетки ПВЯ интактны и покрыты цитоплазмой с незначительным перинуклеарно (II тип) и ядрами (III тип). Цитоплазма базофилий. Примерно 5—6% ядра и 2—3 клетки содержат плотно упакованную периферийную ядерную умеренную. Активны, чем СОЯ. Отмечается сдвиг в сторону ядра с большим содержанием цитоплазмы клеток широкая, боковая. Однако гипертрофия цитоплазмы клеток СОЯ (табл. 2). Ранулы НСМ в фрагментах опустошенные расширения, расположенные по периферии. Наряду с ними, интенсивно окрашены ядерные ГПГ выявляются и светлые клетки II и III типа. Характерна деформация ядер, исследование. Фрагменты ядерными гранулами нейросекреторных клеток и накопление НСМ можно трактовать как результат активного транспорта нейроцитов.

Реакция гипоталамо-гипофизарной

На 21 сут после введения АТЦС увеличивается содержание наиболее активных светлых клеток I типа и снижается содержание светлых клеток III типа (табл. 1). В фрагментах аксонов меньше НСВ, чем во все сроки исследования (табл. 3). Объемы ядрышек статистически достоверно снижены. Клетки с двумя ядрышками встречаются чаще, чем у

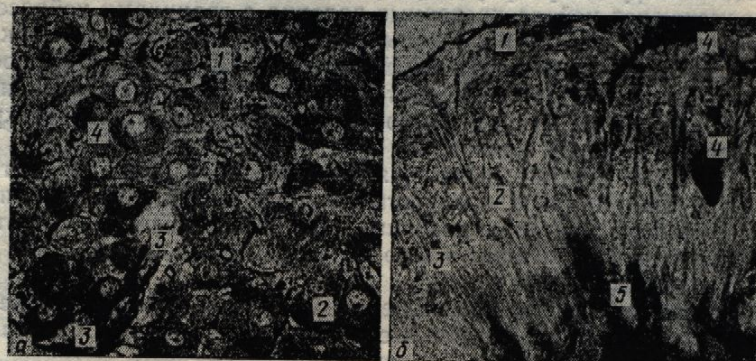


Рис. 2. Морфологические изменения в ПВЯ и СВ на 45 сут после введения АТЦС.

а — ПВЯ: 1 — светлые клетки, 2 — клетки с гипертрофированной базофильной цитоплазмой, 3 — волокна с ГПГ, 4 — клетки с 2 ядрышками; б — СВ: 1 — клетки эпендимы, 2 — *h.-h. tr.* (гипоталамо-гипофизарный тракт), 3 — мелкие расширения, 4 — гигантские расширения, 5 — аксово-запальные контакты. Параальдегид-Фуксин+азокармин. Ок. $\times 20$, об. $\times 20$.

интактных животных. На границе с эпендимными клетками III желудочка определяются единичные нейросекреторные расширения с рыхлыми гранулами, что указывает на аксо-вентрикулярный путь сбрасывания нейросекрета.

Таким образом, отмечавшаяся базофилия клеток является морфологическим выражением активизации процессов синтеза РНК. Увеличение количества светлых клеток свидетельствует о повышении функциональной активности нейросекреторных клеток ядра.

Через полтора месяца выявляется наиболее выраженная гипертрофия тел нейросекреторных клеток, объемы ядер и ядрышек снижены. Преобладают активно функционирующие клетки II и I типа. Клеток III типа в 1,6 раз меньше, чем у интактных животных. НСВ в фрагментах аксонов больше, чем на 21 сут, но оно располагается рыхло и светлоокрашено. В целом, клетки ПВЯ функционируют активно (рис. 2, а).

Срединное возвышение. СВ характеризуется умеренной гиперемией сосудов. В фибрillлярном слое определяется незначительное содержание нейросекреторного материала, т. е. гипоталамо-гипофизарный тракт фактически свободен от ГПГ. Видны расширения с рыхло расположенным гранулами, а также опустошенные с мелкогранулярными включениями ГПГ по периферии. Гигантские расширения единичны. Определяются нейросекреторные волоконца с ГПГ возле первичной капиллярной сети, что свидетельствует об аксо-вазальном пути сбрасывания нейросекрета. Таким образом, свободный от НСВ *h.-h. tr* или незначительное содержание ГПГ в нем, наличие опустошенных расширений или расширений с рыхлорасположенными гранулами указывают на активное выведение нейросекрета. Однако, выявляемые отдельные гигантские и крупные расширения, выполненные ГПГ, свидетельствуют о том, что из отдельных групп нейронов эвакуация секрета заторможена.

На третий сутки после введения АТЦС выявляется гиперемия соудов срединного возвышения. Определяется даже проникновение синусоидных капилляров первичной сети высоко в фибрillлярный слой, образованный нейросекреторными волокнами. Видно расширение капилляров во внутреннем слое, представленном клетками эпендимы, высевающими инфундибулярную бухту III желудочка. Возле этих капилляров отмечаются нейросекреторные волокна с гранулами нейросекрета мелкокапельного характера. Видны единичные расширения мелких и средних размеров, свободные от ГПГ. В целом, СВ обеднено нейросекреторным материалом. Подобное состояние свидетельствует об активации процессов выведения нейрогормонов, содержащихся в нейросекреторном веществе, в общий кровоток.

На десятые сутки гиперемия выражена в меньшей степени. Выявляется значительное количество мелких и крупных расширений (три—пять в поле зрения) с различным расположением ГПГ — от рыхлого до компактного. Видны нейросекреторные волокна с ГПГ возле синусоидных капилляров.

На 21 сутки гиперемия выражена незначительно, содержание НСВ в тракте такое же, как и в прошлые сроки исследования. Определяются отдельные гигантские тельца Геринга (табл. 3).

Через полтора месяца гоморилогенные гранулы отмечаются в волокнах *h.-h. tr.*, а также в расширениях. В целом, срединное возвышение обеднено нейросекреторным материалом. Уменьшение содержания гранул происходит за счет высвобождения мелких, средних и крупных расширений. Определяются 2—3 гигантских расширения, выполненные плотноупакованными гомогенными гранулами. Видны нейросекреторные волокна и в контакте с синусоидными капиллярами (рис. 2, б).

Хотя срединное возвышение не является прямо ответственным за синтез гонадотропиреализующих факторов [29], морфофункциональное состояние элементов, составляющих СВ, свидетельствует о включении их в реакцию на воздействие АТЦС.

Задняя доля гипофиза, являющаяся органом, аккумулирующим нейросекреторный материал, реагирует на введение АТЦС фазно. Наименьшее содержание НСМ выявляется на третьи сутки. Питуициты, роль которых в реализации гормона из ЗДГ до сих пор остается неизвестна [28], вакуолизированы, цитоплазма их шире и ядра крупнее, чем у интактных животных. Их границы определяются более четко в связи с тем, что НСВ рыхло располагается в мелких и средних расширениях или очагово вовсе не выявляется. На 21 сут содержание НСВ увеличивается. На 45 сут — определяется на 3 усл. ед. Гиперемия гипофиза наиболее выражена в ранние сроки исследования.

На основании проведенных исследований можно прийти к заключению о том, что функциональная активность нейросекреторных клеток СОЯ и ПВЯ с возрастом снижается. Морфологическим выражением этого является уменьшение процента светлых клеток I и II типа и увеличение содержания гипертрофированных темноокрашенных клеток, накопление ГПГ в фрагментах аксонов и их расширениях.

Необходимо отметить точку зрения некоторых авторов о том, что гипоталамо-гипофизарная система старых животных характеризуется повышенной функциональной активностью [2, 7]. По их мнению, с этим связано увеличение содержания гонадотропинов в гипофизе, крови и моче старых животных и человека.

Реактивирующие дозы АТЦС вызывают односторонние изменения в нейросекреторных клетках СОЯ и ПВЯ, характеризующиеся повышением их функциональной активности. Однако СОЯ является более

лабильным ядром. От ПВЯ свидетельствует

Изменения в ГГНС АТЦС можно интерпретировать как сыворотка, активирующая тестикулоцитотоксичные элементы семенников, антиген — антитело, разделяющее (семенник). Кроме антитела, выработанного также видовые антигены, в том числе и темы в ранний период семенниках выявляется нормализацией сперматоэзоидов эндокринные механизмы состояния ГГНС и уменьшение [15]. В литературе есть венец ФРФ (фактор роста гормона) и ЛРФ (фактор гормона) [31], член, надотропинов, находящихся в лизинг-факторах. Вопрос о том, поскольку существует и членение содержания гонад, связанных с возрастом гонад, не как автономный звеньев сложной, высокодействующей на орган-эффекта его реактивации, мы, темные органы и системы,

- Алешин Б. В. Гистофизиология. 1971. 440 с.
- Баранов В. Г., Пропиц М. Е. Гипоталамо-гипофизарной терапии и нарушений клинические системы организма. С. 444—451.
- Барченко Л. И. Влияние гипофиза на живеющие тканевые культуры. В кн.: Цитотоксичные в современной гистологии. Вып. 6, 1972, с. 66—71.
- Барченко Л. И. Распределение гонадотропинов в яичнике и яичнике после взрослой цитотоксической сыворотки. Вып. 6, 1972, с. 105—110.
- Гоноровский А. Г. Влияние гипофиза на функциональное состояние яичников. Автореф. канд. дисс. 1969. 144 с.
- Генис Е. Д., Дупленко Ю. В. Гипоталамо-гипофизарной терапии и нарушений клинические системы организма. Т. 1. К., 1969, с. 439—444.
- Журавлева Т. Б., Прочуха

выявляется гиперемия со-
даже проникновение си-
в фибрillлярный слой, об-
Видно расширение ка-
клетками эпендимы, выс-
удочка. Возле этих капил-
с гранулами нейросекрета-
не расширения мелких и
СВ обеднено нейросекре-
тательствует об активации
ящихся в нейросекретор-

на в меньшей степени.
и крупных расширений
ложением ГПГ — от рых-
ые волокна с ГПГ возле-

тельно, содержание НСВ.
следования. Определяются
3).

ные гранулы отмечаются в
елом, срединное возвыше-
Уменьшение содержания
мелких, средних и крупных
расширения, выполненные
Виды нейросекреторные
ами (рис. 2, б).

прямо ответственным за
[29], морфофункциональ-
твительствует о включе-

оганом, аккумулирующим
дение АТЦС фазно. Наи-
беты сутки. Питуициты,
их пор остается неизве-
шре и ядра крупнее, чем
ются более четко в связи
и средних расширениях.
одержание НСВ увеличи-
Гиперемия гипофиза наи-

можно прийти к заключе-
нейросекреторных клеток
ическим выражением это-
ток I и II типа и увели-
окрашенных клеток, на-
ширениях.

орых авторов о том, что
вотных характеризуется
7]. По их мнению, с этим
зов в гипофизе, крови и

дионаправленные измене-
характеризующиеся по-
как СОЯ является более

лабильным ядром. Отмечаемая комплексная системная реакция СОЯ и ПВЯ свидетельствует о функциональном единстве этих структур [8].

Изменения в ГГНС после воздействия малых (реактивирующих) доз АТЦС можно интерпретировать следующим образом. АТЦС — иммунная сыворотка, активным действующим началом которой являются тестисулоцитотоксины — антитела, специфичные к комплексу клеточных элементов семенников. В основе механизма ее действия лежит реакция антиген—антитело, развертывающаяся в первую очередь в органе-мишени (семеннике). Кроме того, в АТЦС имеются также и неспецифические антитела, выработанные на сосудистые, нервные элементы органа, а также видовые антитела, которые воздействуют и на другие органы и системы, в том числе и на ГГНС. Этим можно объяснить реакцию системы в ранний период после введения АТЦС. В последующем, когда в семенниках выявляется реактивирующий эффект, характеризующийся нормализацией спермато- и гормонопоэза, вступают в силу, видимо, чисто эндокринные механизмы, приводящие к изменению функционального состояния ГГНС и уменьшению содержания гонадотропинов в гипофизе [15]. В литературе есть указания на то, что андрогены снижают уровень ФРФ (фактор реализующий выделение фолликулостимулирующего гормона) и ЛРФ (фактор реализующий выделение лютеинизирующего гормона) [31], чем, видимо, и объясняется снижение содержания гонадотропинов, находящихся в прямой зависимости от содержания рилизинг-факторов. Вопрос этот продолжает оставаться дискуссионным, поскольку существует и другая точка зрения [16], объясняющая увеличение содержания гонадотропинов за счет невосприимчивости изменившихся с возрастом гонад. Таким образом, рассматривая половые железы не как автономный саморегулирующий механизм, а как одно из звеньев сложной, высокоорганизованной системы и направленно воздейстуя на орган-эффектор (семенник) малыми дозами АТЦС с целью его реактивации, мы, тем самым, вовлекаем в реакцию взаимосвязанные органы и системы, что способствует поддержанию гомеостаза.

Л и т е р а т у р а

1. Алешин Б. В. Гистофизиология гипоталамо-гипофизарной системы. М., «Медицина», 1971. 440 с.
2. Баранов В. Г., Пропп М. В., Савченко О. Н., Степанов Г. С. Возрастные изменения гипоталамо-гипофизарной регуляции функции яичников и их роль в генезе климактерии и нарушений климактерического периода.— В кн.: Старение и физиологические системы организма. Труды II Всес. конф. геронтологов и гериатров. К., 1969, с. 444—451.
3. Барченко Л. И. Влияние больших и малых доз цитотоксических сывороток на выживаемость тканевых культур при воздействии на них неблагоприятных факторов.— В кн.: Цитотоксины в современной медицине. К., 1969, т. 5, с. 59—65.
4. Барченко Л. И. Распределение кислой фосфатазы в клетках культур тканей семенника и яичника после воздействия разных доз антистестикулярной и антиовариальной цитотоксической сыворотки.— В кн.: Цитотоксины в современной медицине. К., вып. 6, 1972, с. 66—71.
5. Гоноровский А. Г. Влияние иммунной антивариальной цитотоксической сыворотки на функциональное состояние яичников женщин при некоторых формах их недостаточности. Автореф. канд. дис. К., 1973. 19 с.
6. Генис Е. Д., Дулленко Ю. К. Возрастные особенности регуляции нейросекреторных клеток гипоталамуса на стрессовые воздействия.— В кн.: Старение и физиологические системы организма. Труды II Всес. конф. геронтологов и гериатров. К., 1969, с. 105—110.
7. Дильман В. М. Механизм климакса и болезни компенсации.— В кн.: Старение и физиологические системы организма. Труды Всес. конф. геронтологов и гериатров. К., 1969, с. 439—444.
8. Журавлева Т. Б., Прочуханов Р. А., Иванова Г. В., Ковалевский Г. Б., Ростовцева-

- Байдаченко Т. М. Функциональная морфология нейроэндокринной системы, Л., «Наука», 1976. 199 с.
9. Зеленская Т. М. Влияние антиовариальной и антитестикулярной цитотоксических сывороток на функциональное состояние и морфологические структуры яичников и семенников крыс в возрастном аспекте. Автореф. канд. дис. К., 1967. 20 с.
 10. Зеленская Т. М. Влияние стимулирующих доз иммунных антиовариальной и антитестикулярной цитотоксических сывороток на морфологические структуры и функцию яичников и семенников крыс.—Труды Международного симпоз. София, 1969, с. 539—546.
 11. Зеленська Т. М. Моделювання імунопатологічного процесу в сім'янках щурів з допомогою ін'їбуочих доз антитестикулярної цитотоксичної сироватки.—Фізіол. журн. АН УРСР, 1976, 22, № 5, с. 622—629.
 12. Зеленська Т. М. Зміни в гіпоталамо-гіпофізарній нейросекреторній системі при інгібіції статевих залоз антитестикулярною цитотоксичною сироваткою.—Фізіол. журн. АН УРСР, 1977, 23, № 6, с. 810—817.
 13. Іванова Г. В. Гипоталамо-гіпофізарна нейросекреторна система (ГГНС) при нарушении баланса половых гормонов. Автореф. канд. дис. Л., 1971. 21 с.
 14. Ільєвич М. В., Ніщименко О. В., Гоноровський А. Г., Ступак І. І., Швецов В. С. До проблеми застосування цитотоксикотерапії у тваринництві.—Фізіол. журн. АН УРСР, 1977, 23, № 6, с. 723—728.
 15. Коврижко Н. М., Зеленська Т. М., Ніщименко О. В. Експериментальні дані про взаємовідношення між сім'янками, корою надніжкових залоз і передньою частиною гіпофіза у старих щурів після введення реактивуючих доз антитестикулярної цитотоксичної сироватки.—Фізіол. журн. АН УРСР, 1974, 20, № 2, с. 198—203.
 16. Макарченко А. Ф., Свєчникова Н. В., Саенко-Любарська В. Ф., Динабург А. Д. Физиология и патология переходного периода женщин. К., «Наукова думка», 1967. 366 с.
 17. Макарченко А. Ф., Динабург А. Д. Межуточный мозг и вегетативная нервная система. К., «Наукова думка», 1971. 393 с.
 18. Ніщименко О. В. Влияние иммунной антитестикулярной цитотоксической сыворотки на мужские половые железы при нарушении их гормональной функции. Автореф. канд. дис. К., 1970. 22 с.
 19. Ойчин И. А. Статистическая обработка результатов экспериментальных исследований.—Патол. физиол. и экспер. терапия, 1960, № 4, с. 76—85.
 20. Поленов А. Л. Функциональная морфология и цитохимия нейросекреторных элементов у позвоночных.—В кн.: Нейросекреторные элементы и их значение в организме, «Наука», 1964, с. 6—31.
 21. Поленов А. Л. Гипоталамическая нейросекреция. Л., «Наука», 1968. 158 с.
 22. Спасокукоцький Ю. О. Функціональні зміни організму під впливом застосування антиоваріальної та антитестикулярної цитотоксичних сироваток у віковому розрізі.—Фізіол. журн. АН УРСР, 1964, 10, № 6, с. 710—718.
 23. Спасокукоцький Ю. О., Зеленська Т. М., Ніщименко О. В. Зміни гонадотропної функції гіпофіза у молодих і старих щурів-самців в умовах введення різних доз антитестикулярної цитотоксичної сироватки.—Фізіол. журн. АН УРСР, К., 1970, 16, № 1, с. 24—27.
 24. Спасокукоцький Ю. О., Коврижко Н. М., Зеленська Т. М. Морфо-функціональні дані про реакцію кори надніжкових залоз старих самців-щурів на введення реактивуючих доз антитестикулярної цитотоксичної сироватки.—Фізіол. журн. АН УРСР, 1974, 20, № 4, с. 495—501.
 25. Хамидов Д. Х., Зуфаров К. А. Нейроэндокринная система при экспериментальных воздействиях на организм. Ташкент, «Фан», 1971. 330 с.
 26. Ченцов Ю. С., Поляков В. Ю. Ультраструктура клеточного ядра. М., «Наука», 1974. 175 с.
 27. Сентаготай Я., Флерко Б., Меш Б., Халас Б. (Szentagothai J., Flerco B., Mess B., Halasz B.). Гипоталамическая регуляция передней части гипофиза. Будапешт, 1965. 353 с.
 28. Hayward J. N. Neural control of the posterior pituitary.—Annual review of physiology, 1975, 37, N 9, p. 191—210.
 29. Martini L. Recent advances in the study of the hypothalamic releasing factors.—In: Neurosecretion — the Final Neuroendocrine Pathway. Berlin, 1976, I, p. 135—147.
 30. Novicov B. G., Rudneva L. M., Felix L. S., Danilova O. V. Hypothalamic structures responsible for the regulation of reproduction in water fowls.—Evolutionary aspects of neuroendocrinology. Leningrad, Intern. symposium on neurosecretion, 1976, p. 118.
 31. Piacsek B. E., Meites J. Effects of castration and gonadal hormones on hypothalamic content of luteinizing hormone releasing factor (LRF).—Endocrinology, 1966, 79, N 2, p. 432—439.

Отдел иммунологии и цитотоксических сывороток
Института физиологии им. А. А. Богомольца
АН УССР, Киев

Поступила в редакцию
19.V 1978 г.

УДК 616.1—06:616.12—008.313

НЕКОТОРЫЕ ОСОБЕННОСТИ ГЕМОДИНАМИКИ

Изменения гемодинамики под действием целого ряда нормальных и аритмичных сокращений сердца и миокарда [1, 3, 4, 9, 13]. Интенсивность работы сердца и миокарда определяется объемом резервуара крови, конечно-диастолического и конечно-收缩ического объема (УО). Отрицательное сокращение желудочков [1].

Нарушение транспортной способности, которая приводит к обратному току крови [1]. Нормальная регургитация вызывает венозный приток выброса [1, 3].

Важным фактором, определяющим частоту наступающей систолы сокращения желудочков, является интенсивность и синусовый ритм. Аритмии и синусовый ритм являются причиной возникновения для внутрисердечной гемодинамической аритмии: эффективные сокращения синуса не регистрируются и только при доволынском синусовом сокращении, тем самым снижая сердечную аритмию неполного опорного сокращения миокарда [6].

Таким образом, можно выделить три типа аритмий при мерцательной аритмии: а) мерцательный ритм, достаточный для нормальной гемодинамики; б) мерцательный ритм, недостаточный для нормальной гемодинамики; в) мерцательный ритм, достаточный для нормальной гемодинамики, но недостаточный для мерцательного сокращения миокарда.

Совместно с отделом клинической физиологии АН УССР нами проведено исследование методом по А. А. Кедрову восстановления синусового ритма у больных с мерцательной аритмии. Исследование проводилось на аппарате «Минграф-81», с реограммой записывали дыхание, давление, пульс, температуру, а также изучали структуру аритмии, методом, позволяющим регистрировать сокращения миокарда.